# ОБ УСТОЙЧИВОСТИ АКСИАЛЬНО-СИММЕТРИЧНЫХ СОСТОЯНИЙ В ТЕОРИИ ГИНЗБУРГА-ЛАНДАУ

#### $E. P. Подоляк^*$

Институт физических проблем им. П.Л. Капицы Российской академии наук 119334, Москва, Россия

Поступила в редакцию 13 июля 2022 г., после переработки 2 декабря 2022 г. Принята к публикации 8 декабря 2022 г.

Изучается вопрос об устойчивости сверхпроводящих состояний с захваченным магнитным потоком в сферическом образце. Рассматриваются сверхпроводники с конечным значением параметра Гинзбурга—Ландау, в частности, сверхпроводники I рода, для которых важную роль играет искажение магнитного поля вблизи образца. Предполагается, что размер образца не слишком велик по сравнению с корреляционной длиной  $\xi(T)$ , а сверхпроводящее состояние имеет аксиальную симметрию. Обсуждается возможность существования состояний с захваченным потоком в нулевом внешнем поле. Проводится сравнение с результатами для образца цилиндрической формы.

**DOI:** 10.31857/S0044451023020062

EDN: OQICSG

#### 1. ВВЕДЕНИЕ

Решение уравнений Гинзбурга—Ландау позволяет найти экстремум свободной энергии, но не позволяет указать тип этого экстремума: минимум, седловая точка или максимум. Поскольку существовать могут только состояния, соответствующие минимуму свободной энергии, то определение типа экстремума является важным аспектом теории Гинзбурга—Ландау. Тип экстремума можно выяснить с помощью изучения устойчивости решений Гинзбурга—Ландау.

Традиционный подход к этому вопросу основан на том, что энергия Гинзбурга—Ландау является эрмитовым функционалом параметра порядка, и, следовательно, состояние с наименьшей энергией является равновесным и заведомо устойчиво. Поэтому, если из возможных решений выбирать состояние с наименьшей энергией, то вопрос о его устойчивости решается автоматически.

Однако, такой подход не позволяет изучать метастабильные состояния, которые имеют большую энергию, чем равновесные, но тем не менее, являются устойчивыми по отношению к малым возмуще-

ниям. Определение области существования метастабильных состояний особенно важно для сверхпроводников I рода, поскольку именно метастабильные состояния отвечают за гистерезисные явления, наблюдаемые в магнитном поле.

С вычислительной точки зрения определение устойчивости решения является трудоемкой задачей. Поэтому, для ее решения приходится использовать какие-либо упрощающие предположения. Одним из таких упрощений, которое тем не менее представляет практический интерес, является изучение мезоскопических образцов, у которых симметрия решения навязывается симметрией самого образца. В случае сферических образцов за счет этого можно свести трехмерную задачу к аксиальносимметричной двумерной.

Вопрос об устойчивости решений Гинзбурга—Ландау, по-видимому, был впервые рассмотрен в [1]. В этой работе изучаются сверхпроводники II рода, у которых параметр Гинзбурга—Ландау очень велик:  $\varkappa \to \infty$ . В этом случае уравнения Гинзбурга—Ландау можно решать в линейном приближении, поскольку почти во всем диапазоне полей параметр порядка мал по сравнению с равновесным. Кроме того, в этом случае пренебрежимо малы и сверхпроводящие токи, а магнитное поле можно считать неискаженным. Эти соображения значительно упрощают исследование устойчивости решений в случае сверхпроводников II рода с большим значением  $\varkappa$ .

<sup>\*</sup> E-mail: eee@kapitza.ras.ru

В настоящей работе мы сформулируем задачу устойчивости для произвольного значения параметра Гинзбурга—Ландау и будем учитывать как нелинейный вклад от параметра порядка, так и искажение магнитного поля, вызванное сверхпроводящими токами. Эти требования являются необходимыми для сверхпроводников с конечным значением  $\varkappa$  и, в частности, для сверхпроводников I рода.

Настоящая работа направлена на изучение возможностей теории Гинзбурга—Ландау для объяснения наблюдаемых особенностей кривой намагничивания монокристаллов свинца [2]. Специальное внимание в работе уделяется адаптации получаемых соотношений для численного счета.

#### 2. ПОСТАНОВКА ЗАДАЧИ

Существенной особенностью сверхпроводящих образцов сферической формы является искажение магнитного поля в окружающем пространстве. Поэтому для сверхпроводника, находящегося во внешнем поле  $H_0$ , кроме энергии Гинзбурга–Ландау необходимо также учитывать диамагнитную энергию образца и энергию искаженного магнитного поля.

Рассмотрим выражение для плотности свободной энергии сверхпроводника [3] при постоянном внешнем поле

$$F = g \left| \nabla \Psi - i \frac{2\pi}{\Phi_0} \mathbf{A} \Psi \right|^2 + \alpha (T - T_c) |\Psi|^2 + \frac{\beta}{2} |\Psi|^4 + \frac{|\mathbf{B}|^2}{8\pi} - \frac{(\mathbf{B}, \mathbf{H}_0)}{4\pi}, \quad (1)$$

где

$$g = \frac{\hbar^2}{4m}, \quad \Phi_0 = \frac{hc}{2|e|}.$$

В данной работе мы не будем рассматривать какую-либо дополнительную свободную энергию, связанную с поверхностью образца, и поэтому будем использовать естественные граничные условия теории Гинзбурга—Ландау, которые следуют из (1). Соотношения, приводимые ниже, также соответствуют теории Гинзбурга—Ландау и служат лишь для определения используемых в работе обозначений.

Из (1) можно получить равновесное значение параметра порядка  $\Psi$  в нулевом поле

$$|\Psi_0(T)|^2 = \frac{\alpha}{\beta}(T_c - T) \tag{2}$$

и термодинамическое критическое поле

$$H_c(T) = \alpha (T_c - T) \sqrt{\frac{4\pi}{\beta}}.$$
 (3)

В рассматриваемой задаче в части образца, содержащей захваченный поток, параметр порядка пренебрежимо мал, а магнитное поле практически однородно. Поэтому в качестве единицы длины мы выбираем корреляционную длину

$$\xi(T) = \sqrt{\frac{g}{\alpha(T_c - T)}},\tag{4}$$

а естественной единицей магнитного поля будет поле абсолютной неустойчивости нормальной фазы

$$H_{c2}(T) = \frac{\Phi_0}{2\pi \xi^2(T)}. (5)$$

Эти единицы не зависят от коэффициента  $\beta$  и хорошо подходят для случая  $|\Psi| \ll |\Psi_0|$ . В дальнейшем мы используем безразмерные величины, которые обозначаем соответствующими маленькими буквами:

$$\mathbf{r} = \frac{\mathbf{R}}{\xi}, \quad \mathbf{b} = \frac{\mathbf{B}}{H_{c2}}, \quad \mathbf{a} = \frac{\mathbf{A}}{\xi H_{c2}} = \frac{2\pi}{\Phi_0} \xi \, \mathbf{A}.$$
 (6)

Сделав переход к безразмерному параметру порядка

$$\psi = \frac{\Psi}{|\Psi_0|},\tag{7}$$

и используя определение параметра Гинзбурга-Ландау

$$\varkappa = \frac{\Phi_0}{2\pi} \sqrt{\frac{\beta}{8\pi g^2}},\tag{8}$$

можно переписать плотность свободной энергии (1) в виде

$$F = \frac{H_c^2 \xi^3}{4\pi} \times \left\{ |\nabla \psi - i\mathbf{a}\psi|^2 - |\psi|^2 + \frac{1}{2}|\psi|^4 + \varkappa^2 |\mathbf{b}|^2 - 2\varkappa^2(\mathbf{b}, \mathbf{h}_0) \right\},$$
(9)

где

$$\mathbf{h}_0 = \frac{\mathbf{H}_0}{H_{c2}}$$

обозначает приложенное магнитное поле.

Плотность свободной энергии (9) удобно отсчитывать от энергии нормальной фазы ( $\psi = 0, \mathbf{b} = \mathbf{h}_0$ )

$$\widetilde{F} = \frac{H_c^2 \xi^3}{4\pi} \times \left\{ |\nabla \psi - i\mathbf{a}\psi|^2 - |\psi|^2 + \frac{1}{2}|\psi|^4 + \varkappa^2 |\mathbf{b} - \mathbf{h}_0|^2 \right\}.$$
(10)

Подчеркнем еще раз, что поскольку магнитное поле вне образца отличается от приложенного поля, то минимизацию свободной энергии нужно выполнять во всем пространстве, а не только внутри образца.

# 3. АКСИАЛЬНО-СИММЕТРИЧНОЕ СОСТОЯНИЕ

Рассмотрим сферический образец (радиуса  $r_s$ ), находящийся во внешнем магнитном поле  $(h_0)$ , направленном вдоль оси z. В этом случае удобно пользоваться цилиндрической системой координат  $(\rho, \varphi, z)$ . Будем считать, что сверхпроводящее состояние имеет аксиальную симметрию, и фаза параметра порядка  $\phi = n\varphi$  пропорциональна азимутальному углу. Аксиальной симметрии параметра порядка

$$\psi(\mathbf{r}) = |\psi(\rho, z)| e^{in\varphi} \tag{11}$$

соответствует симметрия векторного потенциала

$$\mathbf{a}(\mathbf{r}) = a(\rho, z) \,\mathbf{e}_{\varphi}.\tag{12}$$

Поэтому удобно воспользоваться лондоновской калибровкой векторного потенциала  $\mathbf{q}(\mathbf{r}) = \mathbf{a} - \nabla \phi = q(\rho,z) \, \mathbf{e}_{\varphi}$ , в которой параметр порядка  $\psi = \psi^* = f(\rho,z)$  является вещественной функцией координат.

Свободную энергию в лондоновской калибровке можно представить в виде интеграла

$$E = \frac{H_c^2 \xi^3}{2} \int \rho \, d\rho \int dz \times \left\{ |\nabla f|^2 + q^2 f^2 - f^2 + \frac{1}{2} f^4 + \varkappa^2 |\mathbf{b} - \mathbf{h}_0|^2 \right\}, \quad (13)$$

где

$$q = a - n/\rho, \tag{14}$$

$$\mathbf{b} = \operatorname{rot} \mathbf{a} = \operatorname{rot} \mathbf{q} = \frac{1}{\rho} \partial_{\rho} (\rho q) \mathbf{e}_{z} - \partial_{z} q \mathbf{e}_{\rho}.$$
 (15)

Приравнивая нулю вариацию энергии (13), получим уравнение Гинзбурга–Ландау

$$\Delta f = f(q^2 - 1 + f^2),$$
 (16)

где  $\Delta$  обозначает двумерный оператор Лапласа

$$\Delta = \partial_{\rho}^2 + \frac{1}{\rho}\partial_{\rho} + \partial_z^2$$

в цилиндрической системе координат, и уравнение Максвелла

$$-\operatorname{rot} \mathbf{b} = \frac{f^2}{\varkappa^2} \mathbf{q}. \tag{17}$$

Векторный потенциал и сверхпроводящий ток в рассматриваемой задаче имеют только  $\mathbf{e}_{\varphi}$  компоненту, поэтому уравнение (17) можно переписать в скалярном виде

$$\partial_{\rho} \left( \frac{1}{\rho} \partial_{\rho} (\rho q) \right) + \partial_{z}^{2} q = \frac{f^{2}}{\varkappa^{2}} q.$$
 (18)

Приравнивая нулю вариацию энергии (13) на поверхности шара  $(r=r_s)$  получаем граничное условие Гинзбурга–Ландау

$$\partial_n f(r_s) = 0, (19)$$

где

$$\mathbf{n} = \frac{\rho}{r} \, \mathbf{e}_{\rho} + \frac{z}{r} \, \mathbf{e}_{z}$$

— нормаль к поверхности образца, и условие непрерывности магнитного поля на границе образца.

Вне образца (18) сводится к уравнению Лапласа

$$\Delta q = \frac{1}{\rho^2} q,\tag{20}$$

для которого существует точное решение в виде разложения по мультиполям

$$q(\rho, z) = \frac{1}{2} h_0 \rho - \frac{n}{\rho} + \sum_{j=1}^{\infty} C_j \frac{P_j^1(\rho, z)}{r^{j+1}}, \qquad (21)$$

где коэффициенты  $C_j$  обозначают мультипольные моменты, а  $P_j^1(\rho,z)$  — присоединенные функции Лежандра. Решение задачи симметрично относительно экваториальной плоскости, и для векторного потенциала справедливо  $q(\rho,-z)=q(\rho,z)$ , поэтому в разложении (21) отличны от нуля только мультипольные моменты с нечетными индексами.

Магнитное поле вне образца, как правило, содержит большое число мультиполей, поэтому выгодно решать (20) численно, а выражение (21) использовать только для задания граничного условия. При  $r \to \infty$  это приводит к естественному условию — магнитное поле равно приложенному. На конечном радиусе  $r = r_{out}$ , которым ограничена область численного счета, граничное условие должно учитывать остаточный вклад от мультиполей.

В случае уравнения Лапласа (20) граничное условие на конечном радиусе выражает нормальную производную векторного потенциала в каждой точке границы

$$\partial_r q = \frac{1}{r} \left[ \frac{1}{2} h_0 \, \rho + \frac{n}{\rho} - \sum_{j=1}^{\infty} (j+1) \, C_j \frac{P_j^1(\rho, z)}{r^{j+1}} \right] \quad (22)$$

через значение самого векторного потенциала. Поскольку и векторный потенциал (21), и его нормальная производная (22) являются функциями мультипольных моментов, то граничное условие представляет собой неявный способ определения муль-

типольных моментов. Пользуясь ортогональностью функций Лежандра можно вычислить

$$C_{j} = \frac{2j+1}{2j(j+1)} r_{out}^{j-1} \times \times \int_{r=r_{out}} \rho \, dl \left[ q(\rho, z) - \frac{1}{2} h_{0} \, \rho + \frac{n}{\rho} \right] P_{j}^{1}(\rho, z), \quad (23)$$

где

$$\mathbf{l} = -\frac{z}{r} \mathbf{e}_{\rho} + \frac{\rho}{r} \mathbf{e}_{z}$$

обозначает касательную к границе рабочей области.

При такой формулировке граничного условия, численное решение (20) не зависит (с вычислительной точностью) от величины  $r_{out}$ . Значение  $r_{out}$  влияет только на точность вычисления мультипольных моментов и на общий объем вычислений.

По мере увеличения  $r_{out}$  уменьшается влияние высших мультиполей, но при этом ухудшается точность вычисления мультипольных моментов, поскольку выражение в квадратных скобках в (23) стремится к нулю. В дальнейшем нам потребуется значение дипольного момента  $(C_1)$ , поэтому мы выбираем  $r_{out}$  так, чтобы дипольное слагаемое (j=1) было не слишком мало как по отношению к потенциалу неискаженного поля, так и по отношению к сумме остальных мультиполей. В работе мы используем  $r_{out} = 10 \, r_s$ , при котором относительная погрешность вычисления дипольного момента не превышает  $10^{-3}$ .

Оставшиеся граничные условия сводятся к требованию непрерывности функций  $\psi$ ,  ${\bf a}$  и  ${\bf b}$  на оси образца. Отметим, что вариационные граничные условия при  $\rho=0$ 

$$\rho \,\partial_{\rho} f = 0, \qquad \rho \,\partial_{z} q = 0 \tag{24}$$

допускают особенности в функциях  $\partial_{\rho} f$  и q.

Численное интегрирование системы уравнений (16), (17) вблизи оси образца представляет некоторую трудность. Дело в том, что при  $\rho \to 0$  модуль параметра порядка изменяется как  $f(\rho,z) \propto \rho^n$ , и при больших значениях n — это практически ступенчатая функция, которая вблизи оси становится исчезающе малой.

Проблему с быстрым изменением функции f вблизи оси можно устранить с помощью замены переменных

$$g = \ln f, \tag{25}$$

но функция g приобретает при  $\rho \to 0$  логарифмическую расходимость. Для численного счета расходимости в функциях g и q необходимо выделить

$$\widetilde{g} = g - n \ln \rho, \quad \widetilde{q} = q + \frac{n}{\rho}.$$
 (26)

Таким образом, система уравнений Гинзбурга-Ландау приобретает вид

$$\Delta \widetilde{g} = \widetilde{q}^2 - |\nabla \widetilde{g}|^2 - \frac{2n}{\rho} (\widetilde{q} + \partial_{\rho} \widetilde{g}) - 1 + f^2, \qquad (27)$$

$$\Delta \widetilde{q} = \frac{1}{\rho^2} \widetilde{q} + \frac{f^2}{\varkappa^2} q. \tag{28}$$

Кроме конечности функций  $\widetilde{g}$  и  $\widetilde{q}$ , входящих в эти уравнения, при  $\rho \to 0$  справедливо также  $\widetilde{q} \propto \rho^1 \to 0$  и  $\partial_o \widetilde{q} \propto \rho^1 \to 0$ .

Можно видеть, что в правой части уравнения (27) присутствуют неопределенности вида 0/0, а в (28) первое слагаемое расходится как  $\rho^{-1}$ . Способ обработки этих особенностей определяется конкретной программой численного счета. Мы используем программу FlexPDE [5], в которой эта проблема не существенна благодаря интерполяции функций внутри элементов пространственной сетки, примыкающих к оси образца. Этого оказывается достаточно для решения системы (27), (28) с точностью лучше, чем  $10^{-5}$ .

Точность вычислений вблизи оси образца можно улучшить, если дополнительно ввести вспомогательные функции

$$\widetilde{t} = \frac{1}{\rho} \partial_{\rho} \widetilde{g}, \quad \widetilde{s} = \frac{2}{\rho} \widetilde{q},$$
 (29)

уравнения для которых можно получить простой подстановкой (29) в (27), (28). Использование функций  $\widetilde{t}$  и  $\widetilde{s}$  позволяет вычислять решение системы уравнений Гинзбурга–Ландау (f,q) с точностью ( $\approx 10^{-7}$ ) достаточной для последующего анализа его устойчивости.

Приведем некоторые общие свойства решений системы уравнений Гинзбурга—Ландау. Для вычисления энергии полученного сверхпроводящего состояния можно проинтегрировать первое слагаемое в (13) по частям и подставить соотношение (16)

$$E = \frac{H_c^2 \xi^3}{4} \int \rho \, d\rho \int dz \{ -f^4 + 2\varkappa^2 |\mathbf{b} - \mathbf{h}_0|^2 \}. \quad (30)$$

Это выражение не содержит векторного потенциала и производных параметра порядка и оказывается более удобным для численного счета, чем (13).

Отметим, что конечная магнитная энергия вне образца приводит к изменению величины критического поля  $H_c$  от его значения (3) для бесконечного сверхпроводника. Пренебрегая глубиной проникновения поля в образец, можно показать [3], что для майснеровского состояния (n=0) вне образца отличен от нуля только дипольный момент

$$C_1 = -h_0 \frac{r_s^3}{2}. (31)$$

В этом приближении энергию майснеровского состояния можно вычислить аналитически

$$E = \frac{H_c^2 (\xi r_s)^3}{6} \left( \frac{3}{2} \varkappa^2 h_0^2 - \frac{1}{2} \right).$$
 (32)

Из (32) следует, что энергия сверхпроводящего шара во внешнем поле сравнивается с энергией шара в нормальном состоянии при приложении поля

$$h_0 = h_{cM} = \frac{1}{\varkappa\sqrt{3}},$$
 (33)

в то время как термодинамическое критическое поле в принятых обозначениях

$$h_c = \frac{1}{\varkappa\sqrt{2}}. (34)$$

Уменьшение критического поля в случае сферического образца соответствует тому, что при приложении внешнего поля  $h_0=h_{cM}$  поле на экваторе образца ( $\rho=r_s,z=0$ ) с учетом размагничивающего фактора составит

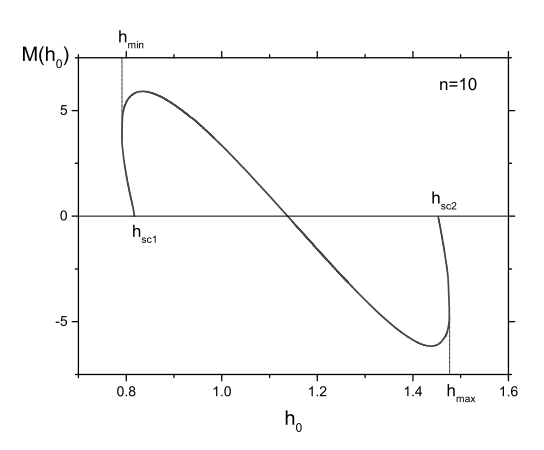
$$b_e = \frac{3}{2}h_0 = \sqrt{\frac{3}{2}}h_c.$$

В используемых здесь единицах безразмерный квант магнитного потока равен  $2\pi$ , поэтому можно сформулировать условие квантования захваченного в образце магнитного потока

$$\int_{0}^{\rho^{*}} \rho \, d\rho \, b_{z}(\rho, 0) = n. \tag{35}$$

Здесь  $\rho^*$  обозначает радиус в экваториальном сечении образца, на котором сверхпроводящий ток обращается в 0, т.е. меняет свое направление. Поэтому можно считать, что число n описывает не только набег фазы параметра порядка при обходе образца, но и количество квантов захваченного образцом магнитного потока.

В данной работе мы не приводим вычисленные функции  $f(\rho,z)$  и  $q(\rho,z)$  двух координат, а представляем результаты вычислений в виде кривой намагничивания, т.е. в виде зависимости дипольного момента  $M(h_0)=C_1$  от приложенного поля. Такое представление удобно тем, что оно соответствует зависимостям, измеряемым в эксперименте. Зависимость  $M(h_0)$  — многозначная, т.к. каждому значению параметра n на ней соответствует отдельная ветвь. Различия между ветвями носят количественный характер, поэтому в дальнейшем мы используем для иллюстраций только одну ветвь: n=10, которая показана на рис.1.



**Рис. 1.** Кривая намагничивания для образца  $r_s=5$ , arkappa=0.6 при n=10

Кривая намагничивания, показанная на этом рисунке, демонстрирует поведение, характерное для сверхпроводников I рода, а именно, существование двух решений при некоторых значениях поля.

Сначала рассмотрим точки окончания кривой  $(h_0=h_{sc1},h_{sc2})$ . В этих точках параметр порядка обращается в нуль. И, следовательно, в окрестности этих точек уравнение Гинзбурга–Ландау можно линеаризовать. Решения линейной задачи для образцов как сферической, так и для цилиндрической формы получены в [4]. Кроме величин критических полей  $h_{sc}(r_s,n)$  в [4] вычислено максимальное значение  $n=n_{max}(r_s)$ , а также критическое значение  $\varkappa_{crit}(r_s)$  параметра Гинзбурга–Ландау, которое определяет знак производной кривой намагничивания при подходе к  $h_{sc}$ .

Результирующую кривую намагничивания образца мы получаем, повторяя вычисления магнитного момента для всех значений  $0 \leqslant n \leqslant n_{max}.$ 

В общей постановке задачи о свойствах сферического образца в магнитном поле остаются еще два параметра: радиус образца и параметр Гинзбурга—Ландау  $\varkappa$ . Следует напомнить, что уравнения Гинзбурга—Ландау (16), (17) не содержат температурных зависимостей. От температуры зависят лишь размерные единицы (4) и (5). Для сферических образцов конечных размеров, рассматриваемых здесь, ситуация качественно меняется. Физическому размеру образца  $R_s$  соответствует безразмерный радиус

$$r_s = \frac{R_s}{\xi(T)} \propto \sqrt{T_c - T},\tag{36}$$

который меняется с температурой и стремится к нулю при температуре сверхпроводящего перехода. Поэтому, в эксперименте можно управлять величиной  $r_s$  с помощью изменения температуры. Хорошо известно [6], что маленький образец (при  $r_s < 1.33$ ) не может иметь состояний с захваченным потоком. И, наоборот, при  $r_s \gg 1$  наблюдаемое промежуточное состояние имеет сложную структуру без аксиальной симметрии. Тем не менее, подчеркнем, что при приближении к сверхпроводящему переходу всегда существует область температур, в которой  $r_s$  не слишком велик, и для которой применимы результаты настоящей работы.

В данной работе мы не проводим исследование влияния параметров  $r_s$  и  $\varkappa$ , а ограничиваемся значениями радиуса  $r_s=5$  и параметра Гинзбурга—Ландау  $\varkappa=0.6$ . Такие значения выбраны для удобства сравнения с результатами [4], полученными для образца цилиндрической формы, который имеет такие же радиус и  $\varkappa$ .

Уже из рис.1 видно, что при заданном внешнем поле задача может иметь одно, два или ни одного (нетривиального) решения. Поэтому возникает вопрос: какое из возможных решений реализуется, и как изменяется число n сверхпроводящего состояния при изменении внешнего поля. На этот вопрос отвечает исследование устойчивости полученных решений.

# 4. УСТОЙЧИВОСТЬ

В предыдущем параграфе описана процедура вычисления сверхпроводящего состояния, которое имеет аксиальную симметрию. Возмущения, которые приводят к его разрушению, не обязательно имеют такую же симметрию. Ниже мы исследуем устойчивость решения по отношению к возмущениям произвольного вида.

В рассматриваемой задаче произвольные возмущения описываются четырьмя вещественными функциями: одна функция —  $p(\rho,\varphi,z)$  описывает возмущение модуля параметра порядка  $f(\rho,\varphi,z)=f_0(\rho,z)+p(\rho,\varphi,z),$  и еще три функции описывают возмущение компонент векторного потенциала:

$$\mathbf{q}(\rho, \varphi, z) = \mathbf{q}_0(\rho, z) + \delta \mathbf{q}(\rho, \varphi, z),$$

$$\delta \mathbf{q} = q_{\rho}(\rho, \varphi, z) \mathbf{e}_{\rho} + q_{z}(\rho, \varphi, z) \mathbf{e}_{z} + q_{\varphi}(\rho, \varphi, z) \mathbf{e}_{\varphi}.$$

Здесь и далее индекс '0' обозначает то решение уравнений Гинзбурга—Ландау —  $f_0$ ,  $\mathbf{q}_0$ , устойчивость которого мы изучаем. Отметим, что использование лондоновской калибровки значительно упрощает постановку задачи об устойчивости, поскольку исключает возмущения фазы параметра порядка,

которые с учетом изменения калибровки, не меняют состояние сверхпроводника.

Устойчивость сверхпроводящего состояния по отношению к малым возмущениям определяется знаком второй вариации энергии

$$\delta^{2}E = \int \rho \, d\rho \int d\varphi \int dz \times \left\{ |\nabla p|^{2} + p^{2} \left(\mathbf{q}_{0}^{2} - 1 + 3f_{0}^{2}\right) + 4f_{0}p\left(\mathbf{q}_{0}, \delta\mathbf{q}\right) + f_{0}^{2}|\delta\mathbf{q}|^{2} + \varkappa^{2}|\delta\mathbf{b}|^{2} \right\}, \quad (37)$$

где

$$\delta \mathbf{b} = \operatorname{rot}(\delta \mathbf{q}).$$

Устойчивыми (в малом) являются состояния, для которых любое возмущение приводит к положительной  $\delta^2 E$ . И, наоборот, если найдется какое-либо возмущение, для которого  $\delta^2 E < 0$ , то сверхпроводящее состояние является неустойчивым.

Следуя общепринятой процедуре, разложим возмущение в ряд Фурье по азимутальному углу  $\varphi$ :

$$p(\rho, \varphi, z) = \sum_{k=-\infty}^{\infty} e^{ik\varphi} p_k(\rho, z), \quad q_{\varphi}(\rho, \varphi, z) =$$
$$= \sum_{k=-\infty}^{\infty} e^{ik\varphi} q_{k\varphi}(\rho, z), \quad (38)$$

$$q_{\rho}(\rho,\varphi,z) = \sum_{k=-\infty}^{\infty} e^{ik\varphi} \, q_{k\rho}(\rho,z), \tag{39}$$

$$q_z(\rho, \varphi, z) = \sum_{k=-\infty}^{\infty} e^{ik\varphi} q_{kz}(\rho, z).$$
 (40)

Теперь, подставим (39) – (41) в (37) и проинтегрируем по  $\varphi$ . С учетом ортогональности фурье-гармоник получим

$$\delta^{2}E = \sum_{k=-\infty}^{\infty} \int \rho \, d\rho \int dz \times \left\{ |\nabla p_{k}|^{2} + \frac{k^{2}}{\rho^{2}} |p_{k}|^{2} + |p_{k}|^{2} \left(\mathbf{q}_{0}^{2} - 1 + 3f_{0}^{2}\right) + 4f_{0}p_{k}q_{0}q_{k\varphi}^{*} + f_{0}^{2} |\delta \mathbf{q}_{k}|^{2} + \varkappa^{2} |\delta \mathbf{b}_{k}|^{2} \right\}, \quad (41)$$

где

$$\delta \mathbf{q}_k = q_{k\rho}(\rho, z)\mathbf{e}_\rho + q_{kz}(\rho, z)\mathbf{e}_z + q_{k\varphi}(\rho, z)\mathbf{e}_\varphi,$$
  
$$\delta \mathbf{b}_k = b_{k\rho}(\rho, z)\mathbf{e}_\rho + b_{kz}(\rho, z)\mathbf{e}_z + b_{k\varphi}(\rho, z)\mathbf{e}_\varphi$$

И

$$b_{k\rho} = -\partial_z q_{k\varphi} + i \frac{k}{\rho} q_{kz}, \tag{42}$$

$$b_{kz} = \frac{1}{\rho} \partial_{\rho}(\rho q_{k\varphi}) - i \frac{k}{\rho} q_{k\rho}, \tag{43}$$

$$b_{k\varphi} = -\partial_{\varrho} q_{kz} + \partial_{z} q_{k\varrho}. \tag{44}$$

Поскольку все функции (38)–(40) вещественные, то для амплитуд гармоник выполняются соотношения  $p_{-k} = p_{+k}^*$  и т. д. Попарно суммируя в (41) слагаемые с +k и -k получим

$$\delta^{2}E = \delta^{2}E_{0}(p_{0}, q_{0r}, q_{0\varphi}, q_{0z}) + 2\sum_{k=1}^{\infty} \delta^{2}E_{k}(p_{k}, q_{k\rho}, q_{k\varphi}, q_{kz}), \quad (45)$$

где

$$\delta^{2}E_{k}(p_{k}, q_{k\rho}, q_{k\varphi}, q_{kz}) = \int \rho \, d\rho \int dz \times \\ \times \left\{ |\nabla p_{k}|^{2} + |p_{k}|^{2} \left( \mathbf{q}_{0}^{2} + \frac{k^{2}}{\rho^{2}} - 1 + 3f_{0}^{2} \right) + \right. \\ + 2f_{0}q_{0} \left( p_{k}^{*}q_{k\varphi} + p_{k}q_{k\varphi}^{*} \right) + f_{0}^{2} |q_{k\varphi}|^{2} + \\ + \varkappa^{2} |\operatorname{rot}(q_{k\varphi}\mathbf{e}_{\varphi})|^{2} + \\ + \frac{k^{2}\varkappa^{2} + \rho^{2}f_{0}^{2}}{\rho^{2}} \left( |q_{k\rho}|^{2} + |q_{kz}|^{2} \right) + \varkappa^{2} |\partial_{z}q_{k\rho}|^{2} - \\ - \varkappa^{2} (\partial_{\rho}q_{kz}^{*} \partial_{z}q_{k\rho} + \partial_{\rho}q_{kz} \partial_{z}q_{k\rho}^{*}) + \varkappa^{2} |\partial_{\rho}q_{kz}|^{2} - \\ - \varkappa^{2} \frac{ik}{\rho^{2}} \left( \partial_{\rho}(\rho q_{k\varphi}^{*}) q_{k\rho} - \partial_{\rho}(\rho q_{k\varphi}) q_{k\rho}^{*} \right) - \\ - \varkappa^{2} \frac{ik}{\rho} \left( \partial_{z}q_{k\varphi}^{*} q_{kz} - \partial_{z}q_{k\varphi} q_{kz}^{*} \right) \right\}. \tag{46}$$

Теперь устойчивость k-й азимутальной гармоники возмущения можно исследовать независимо от остальных. Гармоники k=0 и k=n являются выделенными, что типично для сферической геометрии. Мы рассмотрим эти гармоники отдельно в конце параграфа. Сейчас остановимся на случае 0 < k < n.

Определим норму собственной функции с помощью интеграла

$$||p_{k}, q_{k\rho}, q_{k\varphi}, q_{kz}|| = \int \rho \, d\rho \int dz \times \left\{ |p_{k}|^{2} + w_{k\rho} \, |q_{k\rho}|^{2} + w_{k\varphi} \, |q_{k\varphi}|^{2} + w_{kz} \, |q_{kz}|^{2} \right\},$$
(47)

где неотрицательные весовые функции  $\{w_{k\alpha}(\rho,z)\}$  определяют условия ортонормированности компонент  $\{p_k,q_{k\rho},q_{k\varphi},q_{kz}\}$  собственных функций.

Задача об устойчивости решения по отношению к k-й гармонике произвольного возмущения заключается в определении знака наименьшего значения (46) при фиксированной норме (47). Используя, например, метод множителей Лагранжа эта задача сводится к вычислению знака наименьшего собственного значения  $E_k$  в задаче

$$\delta^2 E_k(p_k, q_{k\rho}, q_{k\varphi}, q_{kz}) = E_k \| p_k, q_{k\rho}, q_{k\varphi}, q_{kz} \|. \tag{48}$$

Следует подчеркнуть, что выбор весовых функций  $\{w_{k\alpha}\}$  влияет как на форму самих собственных функций, так и на спектр собственных значений. Здесь ключевым моментом является то, что знак наименьшего собственного значения и, следовательно, устойчивость k-й гармоники не зависит от выбора  $\{w_{k\alpha}\}$ . В терминах линейной алгебры это утверждение означает, что положительная обусловленность квадратичной формы не зависит от выбора базисных векторов.

На практике мы выбираем весовые функции так, чтобы минимизировать время вычислений, а собственная функция была максимально гладкой. Поскольку выбор  $\{w_{k\alpha}\}$  не имеет принципиального значения при анализе устойчивости, то далее для простоты изложения положим все  $w_{k\alpha}=0$ .

Выражение (46) можно минимизировать по функциям  $q_{k\rho},\ q_{kz}$  и  $q_{k\varphi},\$ вариационные уравнения для которых

$$\varkappa^{2} \partial_{z}(\rho b_{k\varphi}) = \frac{k^{2} \varkappa^{2} + \rho^{2} f_{0}^{2}}{\rho} q_{k\rho} + i \frac{k \varkappa^{2}}{\rho} \partial_{\rho}(\rho q_{k\varphi}), \quad (49)$$

$$-\varkappa^{2} \partial_{\rho}(\rho b_{k\varphi}) = \frac{k^{2}\varkappa^{2} + \rho^{2} f_{0}^{2}}{\rho} q_{kz} + i \frac{k\varkappa^{2}}{\rho} \partial_{z}(\rho q_{k\varphi}), \quad (50)$$

$$\varkappa^2 \partial_{\rho} b_{kz} - \varkappa^2 \partial_z b_{k\rho} = f_0^2 q_{k\varphi} + 2 f_0 q_0 p_k.$$
 (51)

Удобно ввести обозначения

$$Q_{\rho} = i \frac{k}{\rho} q_{k\rho}, \qquad (52)$$

$$Q_{z} = i \frac{k}{\rho} q_{kz}, \qquad (53)$$

$$t = \rho q_{k\varphi},$$

$$u = -i \frac{\rho}{h} b_{k\varphi},$$

и переписать (49)–(51) в виде

$$\partial_z u = \frac{1}{\rho} \, \partial_\rho t - \frac{1}{\tilde{\gamma}} \, Q_\rho, \tag{54}$$

$$-\partial_{\rho}u = \frac{1}{\rho}\,\partial_z t - \frac{1}{\widetilde{\gamma}}\,Q_z,\tag{55}$$

$$\operatorname{div}\left(\gamma_{2}\nabla t\right) = \frac{f_{0}^{2}}{\varkappa^{2}\rho^{2}}t + 2\frac{f_{0}}{\varkappa^{2}\rho}q_{0}p_{k} + \frac{1}{\rho}\left(\partial_{z}\widetilde{\gamma}\,\partial_{\rho}u - \partial_{\rho}\widetilde{\gamma}\,\partial_{z}u\right), \quad (56)$$

где

$$\begin{split} \widetilde{\gamma} &= \frac{k^2 \varkappa^2}{k^2 \varkappa^2 + \rho^2 f_0{}^2}, \\ \gamma_2 &= (1 - \widetilde{\gamma}) \rho^{-2} = \frac{{f_0}^2}{k^2 \varkappa^2 + \rho^2 {f_0}^2}. \end{split}$$

Обратим внимание на важное обстоятельство, связанное с непрерывностью возмущений  $\delta \mathbf{q}_k$  и  $\delta \mathbf{b}_k$  на границе образца. Компоненты векторного потенциала (52), (53) и их производные должны быть непрерывны на границе образца, а коэффициент  $\tilde{\gamma}$  в (54), (55) испытывает скачек, поскольку вне образца  $f_0=0$ .

Выразим нормальную и касательную (в плоскости  $\rho, z$ ) компоненты возмущения векторного потенциала на границе образца

$$Q_n = \widetilde{\gamma} \left[ \frac{1}{\rho} \, \partial_n t - \partial_l u \right], \tag{57}$$

$$Q_l = \widetilde{\gamma} \left[ \frac{1}{\rho} \partial_l t + \partial_n u \right]. \tag{58}$$

Из производных, входящих в правую часть этих уравнений, претерпевать скачек может только нормальная производная u. Отсюда следует, что на границе образца должно выполняться  $Q_n=0$ , т.е.

$$\partial_n t = \rho \, \partial_l u, \tag{59}$$

что соответствует обращению в нуль нормальной компоненты возмущения тока.

Поскольку вне образца  $\tilde{\gamma}=1$ , то из условия непрерывности  $Q_l$  можно вычислить величину скачка  $\partial_n u$  на поверхности образца

$$\widetilde{\gamma} \, \partial_n u_{int} - \partial_n u_{ext} = \gamma_2 \, \rho \, \partial_l t. \tag{60}$$

Условия (59) и (60) можно независимо получить приравнивая нулю вариацию (46) на поверхности шара.

Подставив (52)–(55) в (46), получим выражение для  $\delta^2 E_k$ ,

$$\delta^{2}E_{k} = \int \rho \, d\rho \int dz \times \left\{ |\nabla p_{k}|^{2} + |p_{k}|^{2} \left( \mathbf{q}_{0}^{2} + \frac{k^{2}}{\rho^{2}} - 1 + 3f_{0}^{2} \right) + 2\frac{f_{0}}{\rho} \, q_{0} \left( p_{k}^{*}t + p_{k}t^{*} \right) + \varkappa^{2} \gamma_{2} |\nabla t|^{2} + \frac{f_{0}^{2}}{\rho^{2}} |t|^{2} + \varkappa^{2} \left[ \widetilde{\gamma} |\nabla u|^{2} + \frac{k^{2}}{\rho^{2}} |u|^{2} \right] \right\}, \quad (61)$$

из которого видно, что для вычисления устойчивости нет необходимости находить функции  $q_{k\rho}$  и  $q_{kz}$ . Вместо этих двух функций достаточно вычислить только одну функцию u, уравнение для которой получается подстановкой (52)-(55) в (44)

$$\operatorname{div}(\widetilde{\gamma} \nabla u) = \frac{k^2}{\rho^2} u + \frac{1}{\rho} \left( \partial_z \widetilde{\gamma} \, \partial_\rho t - \partial_\rho \widetilde{\gamma} \, \partial_z t \right). \tag{62}$$

Заметим, что это уравнение нельзя получить прямым варьированием (61), поскольку u определена с помощью (44) из минимизации (46) по  $q_{k\rho}$ ,  $q_{kz}$ , и не является независимой функцией.

В итоге задача об устойчивости сверхпроводящего состояния сводится к определению знака наименьшего собственного значения  $E_k$  в краевой задаче

$$\Delta p_{k} = p_{k} \left( \mathbf{q}_{0}^{2} + \frac{k^{2}}{\rho^{2}} - 1 + 3f_{0}^{2} - E_{k} \right) + 2 \frac{f_{0}}{\rho} q_{0} t, \quad (63)$$

$$\operatorname{div}(\gamma_{2} \nabla t) = \frac{f_{0}^{2}}{\varkappa^{2} \rho^{2}} t + 2 \frac{f_{0}}{\varkappa^{2} \rho} q_{0} p_{k} + \frac{1}{\rho} \left( \partial_{z} \widetilde{\gamma} \partial_{\rho} u - \partial_{\rho} \widetilde{\gamma} \partial_{z} u \right),$$

$$\operatorname{div}(\widetilde{\gamma} \nabla u) = \frac{k^{2}}{\rho^{2}} u + \frac{1}{\rho} \left( \partial_{z} \widetilde{\gamma} \partial_{\rho} t - \partial_{\rho} \widetilde{\gamma} \partial_{z} t \right)$$

с условиями (59), (60) и  $\partial_n p_k = 0$  на границе образца.

Важным свойством (61) является то, что вне образца она зависит только от u. Действительно, вне образца  $p_k = 0$ , а все слагаемые с t содержат множитель  $f_0 = 0$ , и, следовательно, уравнение (56) вне образца выполняется для произвольной функции t. Поэтому вне образца система (63) сводится к единственному уравнению для u:

$$\Delta u = \frac{k^2}{\rho^2} u \tag{64}$$

с условиями  $u(\rho, -z) = -u(\rho, z)$  и u=0 при  $r\to\infty$ . Это уравнение Лапласа с азимутальным индексом k, решение которого выражается через присоединенные функции Лежандра. Уравнение (64) мы решаем численно, исходя из тех же соображений, что и при решении (20).

В численном счете, который также выполнен с помощью программы FlexPDE, при 0 < k < n мы пользуемся весовыми функциями

$$w_{k\rho} = w_{kz} = 0, \quad w_{k\varphi}(\rho, z) = \frac{\rho^2}{k^2} f_0^2.$$
 (65)

Следует сказать, что вопрос об оптимальном выборе весовых функций  $\{w_{k\alpha}\}$  остается открытым. Можно лишь отметить, что при  $\rho \to 0$  используемое нами значение  $w_{k\varphi}$  обеспечивает выполнение равенства

$$f_0 t = k p_k, \tag{66}$$

что значительно упрощает раскрытие неопределенностей вблизи оси образца.

С другой стороны, из равенства нулю сверхпроводящих токов (и их возмущений) вне образца следует, что и все  $\{w_{k\alpha}\}$  вне образца должны обращаться в нуль. Таким образом, можно считать, что собственная функция существует только внутри образца, а вне образца во второй вариации энергии дополнительно присутствует интеграл от квадрата возмущения поля. Уравнение (48) превращается в

$$\delta^{2} E_{k}(p_{k}, q_{k\rho}, q_{k\varphi}, q_{kz}) =$$

$$= E_{k} \iint_{r \leqslant r_{s}} \rho \, d\rho dz \left\{ |p_{k}|^{2} + w_{k\varphi} |q_{k\varphi}|^{2} \right\} +$$

$$+ \varkappa^{2} \iint_{r \geqslant r_{s}} \rho \, d\rho dz \, |\delta \mathbf{b}_{k}|^{2}. \quad (67)$$

Второй интеграл в этом выражении можно проинтегрировать по частям. С учетом соотношений (64) и (60) окончательно получим

$$\delta^{2} E_{k}(p_{k}, q_{k\rho}, q_{k\varphi}, q_{kz}) =$$

$$= E_{k} \iint_{r \leqslant r_{s}} \rho \, d\rho dz \left\{ |p_{k}|^{2} + w_{k\varphi} |q_{k\varphi}|^{2} \right\} +$$

$$+ \varkappa^{2} \oint_{r=r_{s}} dl \, \gamma_{2} \rho^{2} u \, \partial_{l} t. \quad (68)$$

Теперь рассмотрим случай k=0. Уже из определений (52), (53) видно, что этот случай является особым. Возвращаясь к минимизации (46), можно видеть, что при k=0 исчезает связь между  $q_{k\rho}, q_{kz}$ 

и  $q_{k\varphi}$ . Это приводит к тому, что минимуму (46) соответствует  $q_{0\rho}=q_{0z}=u=0$ . Формально систему уравнений (63) можно оставить в том же виде, что и при 0 < k < n, если положить u=0 и  $\gamma_2=1/\rho^2$  во всем пространстве. При этом уравнение для t нужно решать не только внутри образца, а во всем пространстве с граничным условием t=0 при  $r\to\infty$ , что аналогично задаче (28) вычисления сверхпроводящего состояния. На границе образца в этом случае требуется лишь непрерывность t и ее производных. Укажем также, что при k=0 в качестве весовой функции мы используем  $w_{0\varphi}(\rho,z)=f_0^2$ , при этом соотношение (66) превращается в  $f_0t=p_0$ .

Следует сказать, что случай k=0 обычно не представляет интереса из-за общих свойств решений уравнений Гинзбурга—Ландау . При заданном внешнем поле либо не существует нетривиальных решений, либо существуют два решения, одно из которых устойчиво (по отношению к гармонике k=0), а другое неустойчиво. Отличить устойчивое решение от неустойчивого легко, поскольку энергия устойчивого состояния должна быть меньше, чем у неустойчивого. Кроме того, с увеличением внешнего поля у устойчивого решения параметр порядка уменьшается, а у неустойчивого — растет. При некотором внешнем поле эти два решения сливаются, и при дальнейшем увеличении поля нетривиальные решения не существуют.

Существование двух близких решений вблизи максимального (и минимального) поля является трудной ситуацией для любой программы численного счета. Поскольку в максимальном (и минимальном) поле  $\delta^2 E_0$  обращается в нуль, то точное значение поля, в котором еще существует сверхпроводящее состояние с данным n, мы определяем из интерполяции  $\delta^2 E_0$  между устойчивым и неустойчивым решениями.

Другой особый случай k=n возникает из-за изменения особенности поведения собственной функции вблизи оси образца. Можно показать, что для любого k при  $\rho \to 0$ 

$$p_k \propto \rho^{|n-k|}, \quad t \propto \rho^{|n-k|-n}, \quad u \propto \rho^k.$$
 (69)

Степени  $\rho$  (как положительные, так и отрицательные) можно выделить с помощью замены

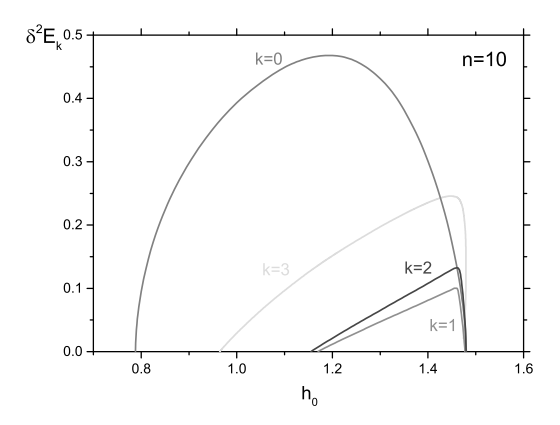
$$p_k = v_k f_0 \rho^{|n-k|-n}, \quad t = t_k \rho^{|n-k|-n}, \quad u = u_k \rho^k.$$
 (70)

Определенные таким образом функции  $v_k, t_k$  и  $u_k$  не имеют особенностей при  $\rho \to 0$  и позволяют решать задачу об устойчивости при произвольном k.

Изложенный выше метод определения устойчивости для сферических образцов можно естествен-

ным образом обобщить на цилиндрические образцы (ориентированные вдоль поля). Если положить отсутствие зависимостей от z для всех функций и равенство нулю размагничивающего фактора ( $b_{\rho}=0$ ,  $b_{ext}=h_0$ ), то соотношения, полученные здесь, переходят в соответствующие выражения [4] для цилиндрического образца.

Как было сказано выше, устойчивые по отношению к малым возмущениям состояния должны иметь неотрицательную вторую вариацию энергии для всех гармоник возмущения. Для состояний с n=10, изображенных на рис.1, область неотрицательной второй вариации энергии показана на рис.2.

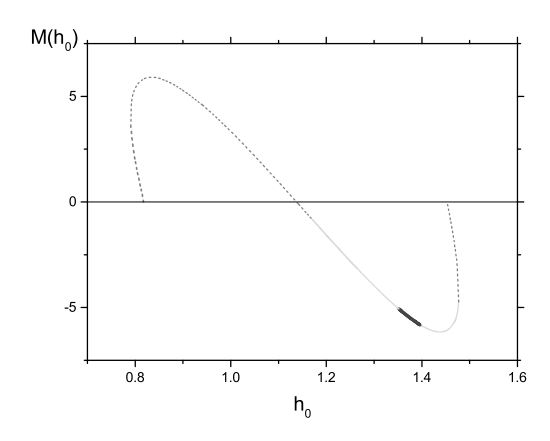


**Рис. 2.** Спектры устойчивости состояний, представленных на рис.1, для нескольких первых гармоник возмущения: k=0,1,2,3

Из рисунка видно, что для n=10 условие устойчивости выполняется в области полей  $1.18 \le h_0 \le 1.48$ . При уменьшении поля  $(h_0 < 1.18)$ первой теряет устойчивость гармоника с k=1. Это свойство, по-видимому, является общим для сверхпроводников с любым ж. Можно сказать, что магнитное поле выходит из образца по одному кванту. При увеличении поля картина потери устойчивости оказывается несколько сложнее. Для сверхпроводников I рода с  $\varkappa \ll 1$  потеря устойчивости происходит в поле  $h_0 = h_{max}(n)$  при k = 0. Для сверхпроводников II рода с  $\varkappa > 1$  потеря устойчивости происходит в поле  $h_0 \lesssim h_{max}(n)$  при k=1. В промежуточном случае  $\varkappa \sim 1$  при малых n потеря устойчивости происходит при k=0, а при больших  $n \lesssim n_{max}$  — при k = 1. Возможно, что достаточным условием для потери устойчивости при k=1является существование в поле  $h_0 \lesssim h_{max}(n)$  состояния n+1. Это предположение подводит к вопросу

о конечном состоянии, в которое перейдет состояние n при потере устойчивости. Очевидно, что в этом поле само конечное состояние должно быть устойчивым и иметь меньшую энергию. Если при заданном поле сравнивать энергию устойчивых состояний с разными значениями n, то состояние с наименьшей энергией будет абсолютно устойчивым, т.е. равновесным, а все остальные — метастабильными. Это значит, что при достаточно большой амплитуде возмущения метастабильное состояние может перейти в равновесное состояние или в другое метастабильное состояние с меньшей энергией.

Заметим, что в случае сверхпроводников II рода неустойчивость может развиться в много-вихревое состояние [1], которое в линейном приближении можно представить как суперпозицию аксиальносимметричных решений. В настоящей работе такие состояния не изучаются, поскольку в нелинейной задаче, рассматриваемой здесь, суперпозиция аксиально-симметричных состояний решением не является. Можно, тем не менее, предположить, что поскольку в сверхпроводниках I рода энергия пъграницы положительна, то (по аналогии с массивными образцами) много-вихревые состояния будут невыгодными.



**Рис. 3.** Области устойчивости состояний с n=10. Толстая кривая — равновесные состояния, тонкая кривая — метастабильные (устойчивые в малом) состояния, пунктирная кривая — абсолютно неустойчивые состояния

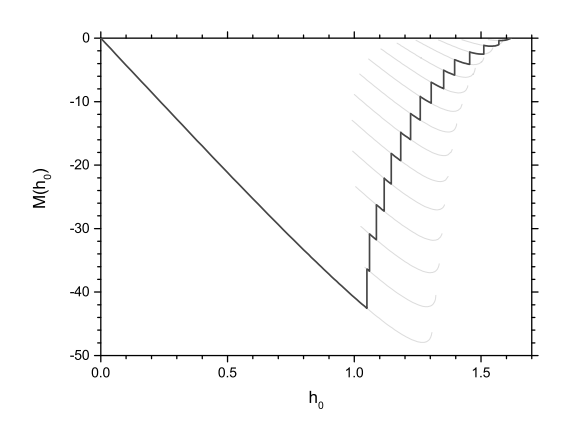
Таким образом, с точки зрения устойчивости на кривой намагничивания рис.1 можно выделить 3 типа состояний: равновесные, метастабильные и неустойчивые. Соответствующие области устойчивости показаны на рис.3. Неустойчивые состояния (пунктирная кривая) не реализуются никогда. Метастабильные (тонкая кривая) и равновесные (тол-

стая кривая) состояния являются устойчивыми и могут наблюдаться.

## 5. РЕЗУЛЬТАТЫ И ВЫВОДЫ

Результирующая кривая намагничивания для сферического образца, составленная из устойчивых состояний для всех допустимых значений  $0 \le n \le 14$  показана на рис.4. Эта кривая заметно отличается от результата [4] для цилиндрического образца. Вопервых, в сферическом образце нет "парамагнитных" состояний, т.е. в сферическом образце для всех устойчивых состояний  $M(h_0) \le 0$ . Во-вторых, минимальное поле, в котором существуют состояния с захваченным потоком, составляет  $h_0 \approx h_{cM}$ . Отметим, что в нулевом внешнем поле существуют решения с  $0 \le n \le 5$ , но среди них только майснеровское состояние является устойчивым.

Можно сказать, что состояния с захваченным потоком в сферическом образце менее устойчивы, чем в цилиндрическом. Такой результат легко объяснить, если обратить внимание, что при смещении области нормальной фазы от оси шара (что соответствует k=1) уменьшается ее длина. А поскольку энергия единицы длины такого "вихря" положительна, то это смещение более эффективно понижает энергию в сферическом образце, чем в цилиндрическом, где подобного уменьшения длины нет.



**Рис. 4.** Полная кривая намагничивания. Вертикальные линии обозначают границы равновесных состояний

От экспериментальных результатов [2] полученная кривая отличается существенно. Остановимся на двух ключевых отличиях. Первое заключается в наблюдении положительного магнитного момента в нулевом поле, которого, как показано в этой работе, теория Гинзбурга—Ландау не допускает.

Второе отличие состоит в наблюдении сверхпроводящих состояний выше  $T_c$ , чего также не может быть в рамках теории Гинзбурга—Ландау. Существование сверхпроводимости выше  $T_c$  означает, что в свободной энергии присутствуют дополнительные отрицательные слагаемые, которые выше  $T_c$  преобладают над положительной энергией Гинзбурга—Ландау.

Поэтому, полученную здесь кривую намагничивания следует рассматривать как результат применения к сферическим образцам теории Гинзбурга—Ландау в ее классической форме.

Среди возможных дополнительных слагаемых в свободной энергии, которые могут быть существенными для описания экспериментальных результатов, естественно рассмотреть энергию, связанную с поверхностью образца. Описание поверхности сверхпроводника в терминах поверхностной свободной энергии хорошо известно [7]. Здесь мы обсудим лишь самые общие свойства, следующие из граничных условий Де Жена [8].

# 5.1. Граничное условие Де Жена

Граничное условие на поверхности сверхпроводника (19), принятое в теории Гинзбурга–Ландау, является следствием результата, полученного Де Женом

$$\partial_R \Psi_s = -\frac{1}{L} \Psi_s, \tag{71}$$

где  $\Psi_s$  — значение параметра порядка на поверхности образца. Величина L для границы сверхпроводник—вакуум [8]

$$L \sim \frac{\xi_0^2}{a_0},$$
 (72)

где  $a_0$  обозначает межатомное расстояние, а  $\xi_0$  — длина когерентности при T=0, роль которой в теории Гинзбурга—Ландау выполняет величина

$$\xi_0 = \sqrt{\frac{g}{\alpha T_c}}. (73)$$

Граничное условие Де Жена в приближении Гинзбурга—Ландау можно получить [7], сопоставив границе сверхпроводника дополнительную свободную энергию

$$F_s = \Lambda_s |\Psi_s|^2. \tag{74}$$

Величину  $\Lambda_S$ , соответствующую (71), в обозначениях (1) можно выразить как

$$\Lambda_s \sim a_0 \cdot \alpha T_c.$$
 (75)

Обычно, L много больше размеров образца, поэтому естественно положить  $L=\infty$  и, соответственно,  $\Lambda_s=0$ , что и лежит в основе граничного условия (19) теории Гинзбурга–Ландау.

Отметим, что для теории Гинзбурга–Ландау важна не сама величина L, которая не зависит от температуры, а ее отношение к корреляционной длине  $\xi(T)$ , поэтому роль поверхностной энергии растет по мере приближения к  $T_c$ . Если перейти к безразмерным единицам этой работы и выразить поверхностную свободную энергию

$$E_s = \lambda_s \, |\psi_s|^2,\tag{76}$$

где

$$\lambda_s = \frac{\xi(T)}{L} \sim \frac{a_0}{\xi_0} \frac{1}{\sqrt{|\tau|}}, \quad \tau = \frac{T - T_c}{T_c}, \quad (77)$$

то можно видеть, что вблизи сверхпроводящего перехода существует характерная приведенная температура

$$\tau_s \sim \left(\frac{a_0}{\xi_0}\right)^2 \tag{78}$$

такая, что при  $|\tau|\lesssim \tau_s$  поверхностной свободной энергией пренебрегать нельзя. Более того, если  $\lambda_s<0$ , то отрицательная поверхностная свободная энергия понижает энергию сверхпроводящего состояния, и сверхпроводимость существует выше  $T_c$ .

Для классических сверхпроводников I рода сдвиг температуры перехода  $\tau_s$  очень мал, но с ростом  $\varkappa$  он увеличивается и, например, для свинца [2] составляет  $\tau_s \approx 0.25 \, mK/T_c$ .

Отметим, что из-за малости отношения  $a_0/\xi_0$  в поверхностной свободной энергии необходимо также учитывать инварианты четвертой степени по  $\Psi_s$  [9], которые при  $|\tau| \lesssim \tau_s$  могут иметь тот же порядок величины, что и (74). Граничные условия в этом случае определяются 4 параметрами, с помощью которых удается аппроксимировать наблюдаемое поле неустойчивости нормальной фазы вблизи  $T_c$ .

Нужно заметить, что возмущения, приводящие к потере устойчивости, полученные в данной работе, сосредоточены вблизи n-s границы и, по-видимому, слабо чувствительны к условиям на поверхности образца. Поэтому нет оснований полагать, что учет поверхностной свободной энергии приведет к существенному изменению кривой намагничивания.

# 5.2. Дислокационная сверхпроводимость

Другой механизм, который может приводить к увеличению температуры сверхпроводящего перехо-

да — это дислокационная сверхпроводимость [10]. Этот механизм также способствует удержанию магнитного потока в нулевом поле благодаря пиннингу вихрей на дислокациях. Отметим, что дислокационная сверхпроводимость должна проявляться на кривой намагничивания уже при небольшом количестве дислокаций, которые неизбежно присутствуют в образце, но еще не сказываются на других его свойствах. Поэтому дислокационная сверхпроводимость является хорошим кандидатом для описания экспериментальных результатов [2] и их отличия от результатов теории Гинзбурга—Ландау, полученных в данной работе.

Следует отметить, что существующая методика измерения магнитного момента не обладает пространственным разрешением, поэтому указать, связаны наблюдаемые эффекты с поверхностью образца или с дислокациями в его объеме, нельзя.

**Благодарности.** Автор выражает глубокую признательность В. И. Марченко за многочисленные полезные обсуждения. Также свою искреннюю благодарность автор выражает О. Р. Подоляк за помощь при работе над текстом статьи.

## ЛИТЕРАТУРА

- B.J. Baelus, D. Sun, and F.M. Peeters, Phys.Rev. B 75, 174523 (2007).
- **2**. И. Н. Хлюстиков, ЖЭТФ **149**, 378 (2016); И. Н. Хлюстиков, ЖЭТФ **159** (2021).
- **3**. Е. М. Лифшиц, Л. П. Питаевский, *Статистическая физика*, ч.2, Москва, ФМЛ (2000).
- **4**. Е. Р. Подоляк, ЖЭТФ **153**, (2018).
- **5**. http://pdesolutions.com
- **6**. В. Л. Гинзбург, ЖЭТФ **34**, 113 (1958).
- **7**. Е. А. Андрюшин, В. Л. Гинзбург, А. П. Силин УФН **163**, 113 (1993).
- 8. П. де Жен, Сверхпроводимость металлов и сплавов, Мир, Москва (1968).
- 9. Е. Р. Подоляк, ЖЭТФ 140, 1185 (2011).
- **10**. Е. Р. Подоляк, ЖЭТФ **156(1)**, 118 (2019).